

24 FEV 1958

Leu

ÉPREUVE

ÉPREUVE POUR BON A TIRER

à retourner d'urgence, revêtue de votre signature, s. v. p.

TIRAGE : exempl.

Institut royal des Sciences
naturelles de Belgique

Koninklijk Belgisch Instituut
voor Natuurwetenschappen

38

BULLETIN

MEDEDELINGEN

Tome XXXIV, n° 3
Bruxelles, janvier 1958.

Deel XXXIV, n° 3
Brussel, januari 1958.

QUELQUES ESPECES NOUVELLES OU PEU COMMUNES
DE L'ILE MAURICE,

par Henri SYNAVE (Bruxelles).

La présente étude est basée sur une petite collection de *Fulgoroidea* que m'a aimablement communiquée M. R. MAMET, de Rose Hill (Ile Maurice).

Cette collection, quoique peu importante au point de vue du nombre de spécimens, s'est cependant révélée fort intéressante. En effet, sur une cinquantaine d'exemplaires, 6 espèces nouvelles pour la Science ont pu être décrites.

Certaines espèces décrites ci-dessous, figuraient comme présumées nouvelles dans la liste des Hémiptères de l'Ile Maurice, publiée récemment par R. MAMET (1). C'est le cas notamment pour les *Ricaniidae* du genre *Tarundia*.

Sauf mention contraire, les types des espèces nouvelles sont déposés dans la collection R. MAMET, tandis que les paratypes sont partagés entre cette même collection et celle de l'Institut royal des Sciences naturelles de Belgique.

Famille CIXIIDAE.

I. Genre *Achaemenes* STÅL.

STÅL, C., 1866, Hem. Afric., 4, p. 170.

(1) A revised and annotated list of the Hemiptera (*Heteroptera* and *Homoptera*, excluding *Sternorhyncha*) of Mauritius. The Mauritius Institute Bulletin, vol. V, part 2, 1957, pp. 31 à 81.

Achaemenes quinquespinosus SYNAVE.

SYNAVE, H., Les *Cixiidae* de la Réunion (sous presse).

5 ex. : Mauritius, Le Poua, 15-XI-1943, R. HERMELIN; ibidem, R. MAMET.

II. Genre *Brixia* STÅL.

STÅL, C., 1856, Öfv. K. Vet. Akad. Förh., p. 162.

1. *Brixia stellata* DISTANT.

1915, *Journ. Nat. Hist.*, vol 9, p. 178.
 DISTANT, W. L., 1914, Trans. Linn. Soc. Lond., XVII, p. 284, pl. 49, fig. 17.

Cette espèce, décrite des Seychelles, a été capturée à la Réunion et à Madagascar.

4 ex. : Mauritius, Vacoas (at light), 4-I-1955, J. R. WILLIAMS; III-1954.

2. *Brixia williamsi* n. sp.

(Fig. 1.)

Front long et étroit; bords latéraux fortement relevés et carénés, se soudant vers la base; noir, à bords latéraux jaunes (arêtes brun foncé). Ocelle apical rougeâtre, très net. Clypéus noir, avec forte carène médiane. Joues et tempes noires, sauf une étroite bordure le long du bord externe, et une plage longitudinale sous les antennes, qui sont ocre. Vertex noir, très étroit, à peine plus large à la base qu'à l'apex, à bords latéraux fortement relevés et carénés, prolongeant ceux du front et soudés sur la partie antérieure. Pronotum court, à bord postérieur très profondément échancré; ocre, sauf la partie médiane, comprise entre les carènes latérales, qui est noire; carène médiane assez forte, orange; une carène sur les épaules, réunissant les latérales au bord postérieur. Scutellum environ deux fois aussi long que vertex et pronotum réunis, déprimé vers l'arrière, avec trois carènes dont les latérales sont divergentes vers l'arrière. Ocre-brun; partie médiane comprise entre les carènes latérales, noire. Tegulae ocre. Elytres environ trois fois aussi longs que larges, légèrement élargis vers l'apex; bifurcation Sc + R très légèrement avant celle de Cu, vers le tiers basal de l'élytre; nervures clavales réunies vers le milieu du clavus. Hyalins, de coloration générale ocre, avec des marques brun foncé et jaunâtres, formant un dessin particulier sur la partie apicale (voir fig. 1). Notamment, une tache triangulaire, jaune, sur l'apex des nervures longitudinales et une seconde, noire, la soulignant; nervures longitudinales brunes, devenant ocre à partir de la série apicale de transversales; deux ou trois stries transversales brun-noir sur la partie apicale, de même que

*Jan 1, c'est une
 esp. nouvelle décrite par
 Williams en 1945*

La Lovette: Will.

stellata DISTANT.

deux taches dans l'angle sutural, dont une grosse, ronde, et une très petite; stigma noirâtre, extérieurement bordé de jaunâtre; deux ou trois taches brun foncé dans la cellule costale et une strie oblique, transversale, depuis la bifurcation Cl_1, Cl_2 jusqu'aux branches de Cu . Pattes ocre; tibias postérieurs non armés; base des deux premiers articles et troisième article des tarsi postérieurs, de même que les épines, brun foncé.

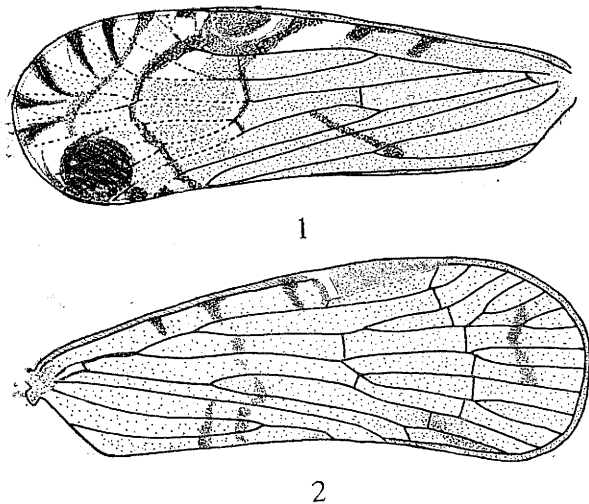


Fig. 1. — *Brixia williamsi* n. sp. : élytre gauche, env. $\times 12$;
Fig. 2. — *Brixia vacoasensis* n. sp. : élytre droit, env. $\times 12$.

Longueur totale : env. 6,5 mm.

Type. — 1 ♀, Mauritius, Vacoas, IV-1956 (at light) (Collect. R. MAMET).

4 paratypes. — Macabé, III-1952, R. MAMET; Petrin, III-1952, R. MAMET (Collect. R. MAMET et Inst. royal des Sciences naturelles de Belgique).

3. *Brixia vacoasensis* n. sp.

(Fig. 2.)

Front à peu près une fois et demie aussi long que large, à bords latéraux carénés, mais légèrement relevés, de sorte que le disque ne paraît pas creusé comme c'est le cas pour la majorité des espèces; les bords

latéraux se relèvent cependant fortement sur la partie antérieure, peu avant de se souder. Ocre; arête des bords latéraux, brune. Ocelle apical bordé de rouge. Clypéus fortement caréné. Joues et tempes, ocre. Vertex environ deux fois aussi long que large, à bords latéraux fortement relevés et carénés, subparallèles, puis progressivement convergents vers l'avant où ils se soudent : ocre, sauf l'arête des bords latéraux qui est brune. Pronotum et scutellum tricarénés; le premier jaunâtre, le second brun, avec des taches foncées dans l'angle postérieur, de part et d'autre de la carène médiane. Elytres hyalins, blanchâtres, à nervures concolores, ponctuées de brun foncé; quelques marques brunes réparties comme suit : quelques taches formant une ligne transversale irrégulière au niveau de la bifurcation Cl_1, Cl_2 , joignant le bord sutural au bord costal, en passant un peu au-dessous de la bifurcation $Sc + R$; quelques taches apicales; nervures transversales et stigma, bruns. Bifurcation $Sc + R$ vers le tiers basal de l'élytre, légèrement avant celle de Cu qui précède nettement celle de Cl_1, Cl_2 . Pattes ocrées; tibias postérieurs non armés.

Longueur totale : env. 6,5 mm.

Type. — 1 ♀, Mauritius, Vacoas, 13-III-1955, J. R. WILLIAMS (at light) (Collect. R. MAMET).

5 paratypes. — Même localité, 13-III-1955 et III-1954 (Collect. R. MAMET et Institut royal des Sciences naturelles de Belgique).

4. *Brixia wagneri* n. sp.

(Fig. 3 à 6.)

Front allongé, à bords latéraux relevés et carénés; se soudant vers la base au niveau des ocelles latéraux; près de deux fois aussi long que large (longueur depuis la jonction des bords latéraux jusqu'à la suture clypéale : 35/largeur maxima : 20). Ocelle apical très net, jaunâtre. Clypéus fortement caréné. Coloration générale blanc verdâtre à vert pâle. Ocelles pairs, rougeâtres. Deux stries brunes sur chaque tempe. Vertex un peu plus long que large (15 : 13), à bords latéraux fortement relevés et carénés, se soudant vers l'avant et prolongeant ceux du front. Pronotum court, à base très profondément échancré; carènes latérales divergentes depuis la partie antérieure de la médiane, puis contournant le bord postérieur des yeux; une carène sur les épaules, entre les latérales et le bord postérieur. Tegulae non carénés. Scutellum tricaréné; carènes latérales divergentes vers l'arrière, médiane écourtée.

Elytres hyalins, verdâtres, avec quelques légers nuages brunâtres sur l'apex et sur le clavus ainsi que quelques marques brunes réparties comme suit : une fine strie oblique vers le milieu de la cellule costale, s'effaçant progressivement vers R ; la série apicale de nervures transversales (plus ou moins complètement); une strie transversale, légèrement arquée, dans l'angle apical et enfin, une tache plus ou moins ronde sur la 8^{me} cellule apicale. Bifurcation $Sc + R$ un peu avant celle de Cu et plus nettement avant Cl_1, Cl_2 .

Pattes blanc verdâtre; tibias postérieurs non armés.

Genitalia ♂, voir fig. 4 à 6. Longueur totale : env. 7,5 mm.

Type. — 1 ♂, Mauritius, Vacoas, 1956, J. R. WILLIAMS (Collect. R. MAMET).

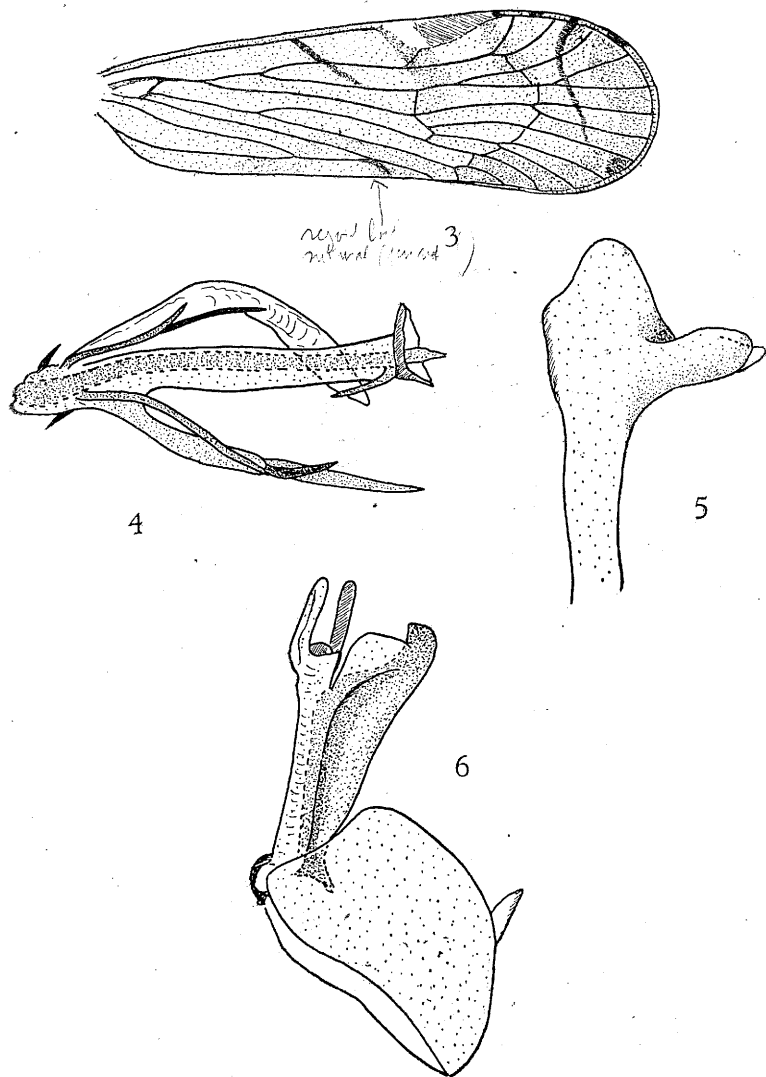


Fig. 3. — *Brixia wagneri* n. sp. : élytre droit, env. $\times 12$;
 Fig. 4. — *idem* : édéage, vue latéro-ventrale droite, env. $\times 60$;
 Fig. 5. — *idem* : paramère droit, vue latérale, env. $\times 60$;
 Fig. 6. — *idem* : tube anal et pygophore, vue latérale, env. $\times 60$.

2 P' a' r a' t' y' p' e' s. — Mauritius, Vacoas, III-1954, J. R. WILLIAMS (at light). (Collect. R. MAMET et Institut royal des Sciences naturelles de Belgique.)

Je dédie cette espèce à mon très honoré collègue, le Dr. W. WAGNER, de Hambourg.

5. *Brixia mameti* n. sp.

(Fig. 7 à 10.)

Front allongé, à bords latéraux relevés et carénés, légèrement convexes, se rejoignant vers la base; environ une fois et demie aussi long que large; ocre jaune, l'arête des bords latéraux, brune. Ocelle apical jaunâtre. Clypéus fortement caréné au milieu. Joues, tempes et antennes, ocre-jaune; deux stries brunes sur chaque tempe. Ocelles pairs, rougeâtres. Vertex environ une fois et demie aussi long que large, à bords latéraux fortement relevés et carénés, se soudant vers l'avant. Pronotum court, à bords

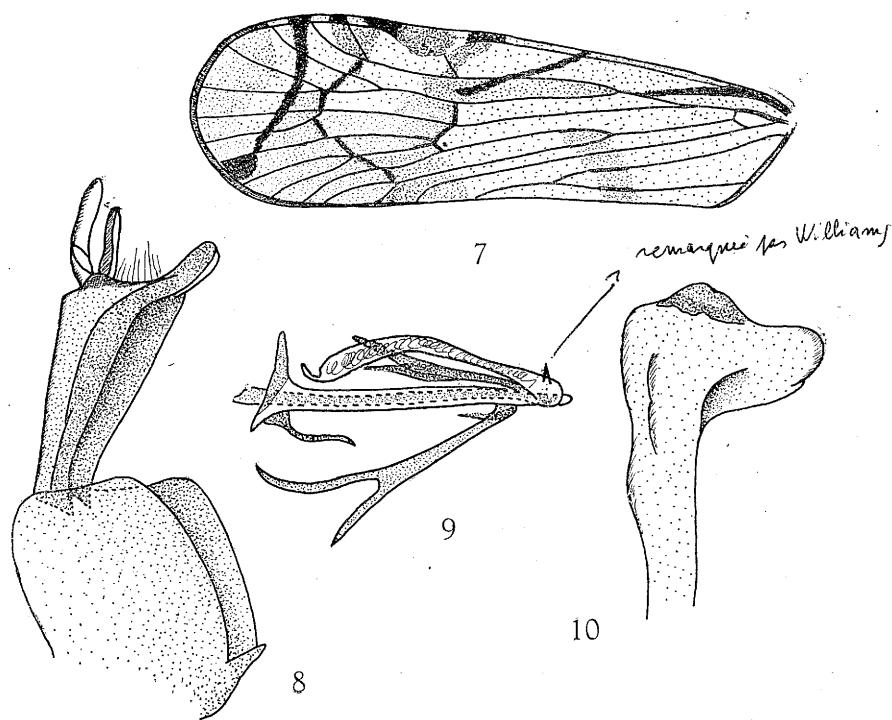
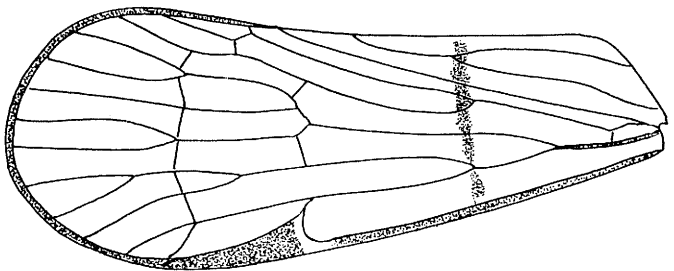
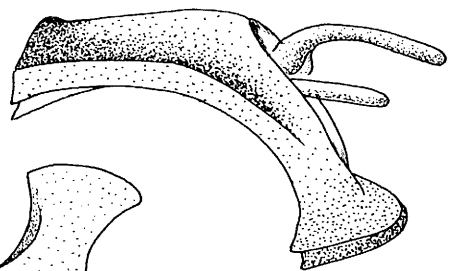


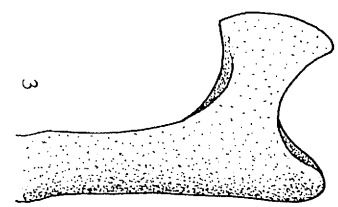
Fig. 7. — *Brixia mameti* n. sp. : élytre gauche, env. $\times 13$;
 Fig. 8. — *idem*. : tube anal et pygophore, vue latérale, env. $\times 50$;
 Fig. 9. — *idem* : édéage, vue latéro-ventrale gauche, env. $\times 50$;
 Fig. 10. — *idem* : paramère droit, vue latérale, env. $\times 50$.



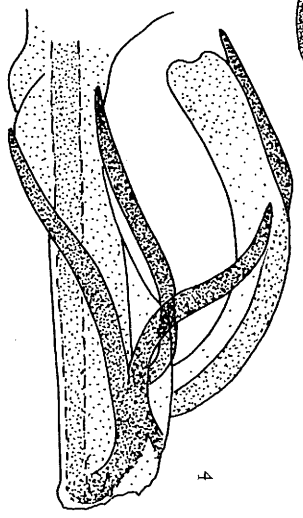
1



2



3



4

Buxia unistriata Syms

postérieur très profondément échancré; ocre foncé, sauf les plaques pectorales qui sont jaunâtres; une carène transversale sur les épaules entre les latérales et le bord postérieur. Scutellum ocre brun, avec trois carènes, dont la médiane est écourtée vers l'arrière et les latérales divergentes. Elytres hyalins, blanchâtres, avec marques brunes et brun foncé réparties suivant la figure 7. Notamment, 5 stries obliques, transversales, partant du bord costal, dont une à la base, la seconde un peu avant le milieu, la troisième et la quatrième respectivement avant et après le stigma, enfin la cinquième dans l'angle apical (sur le paratype, les stries situées de part et d'autre du stigma sont moins nettes, plus pâles); une bande transversale, brun pâle, sur le clavus, avant la bifurcation $Cl_1 Cl_2$, se prolongeant jusqu'aux branches de Cu . Bifurcation $Sc + R$ légèrement avant celle de Cu , nettement avant $Cl_1 Cl_2$, à peu près au tiers basal. Pattes jaune verdâtre pâle; base du premier article des tarses postérieurs, brun. Tibias postérieurs non armés.

Genitalia ♂, voir fig. 8 à 10. Longueur totale : env. 8 mm.

Type — 1 ♂, Mauritius, Vacoas, 3-VI-1954, J. R. WILLIAMS (at light) (Coll. R. MAMET).

1 paratype ♀. — Même localité, 12-III-1954. (Institut royal des Sciences naturelles de Belgique.)

Famille KINNARIDAE.

Dans un travail actuellement sous presse, j'ai signalé cette famille nouvelle pour les îles de la Réunion et Maurice. Dans le matériel provenant de l'île Maurice, se trouvaient deux exemplaires qui ont été reconnus comme paratypes d'une espèce nouvelle décrite dans le travail précédemment cité.

Genre Paramicrixia DISTANT.

DISTANT, W. L., 1911, Ann. Mag. Nat. Hist. (8), vol. 8, p. 742.

Paramicrixia insularis SYNAVE.

SYNAVE, H., 195, Bull. Ann. Soc. Entom. Belg., (sous presse).

2 ex. (paratypes) : I. Maurice, Trois Mamelles, 13-VII-1954, J. R. WILLIAMS.

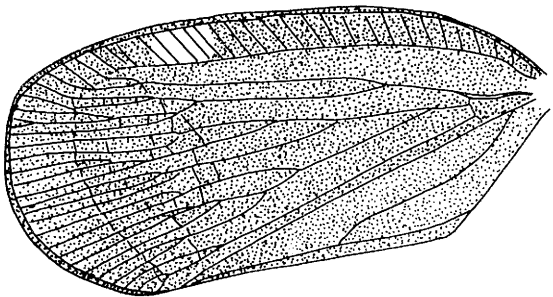
Famille ACHILIDAE.

Genre Aphypia MÉLICHAR.

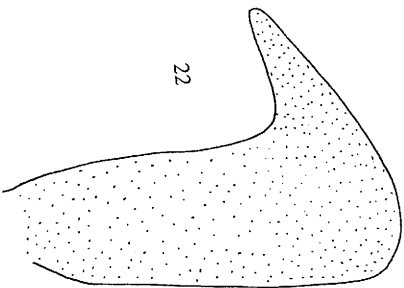
MÉLICHAR, L., 1908, Čas. Česke Spol. Ent., 5, p. 6.

162

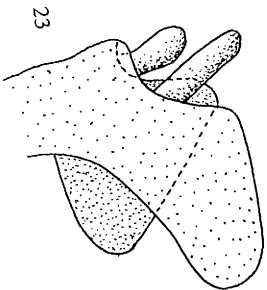
80



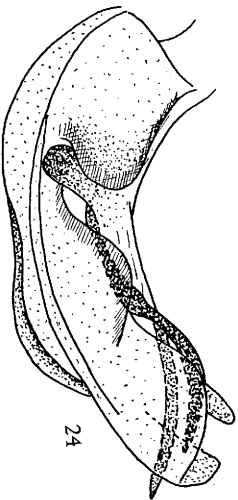
21



22



23



24

Dioscorea ~~*viridissima*~~ *arguata*
~~*I. Maunata*~~ = *P. laevifolia* 1849
Dr. Wm. Millers & Fernand 1950

2. *Tarundia servillei* SPINOLA.

(Fig. 14 à 17.)

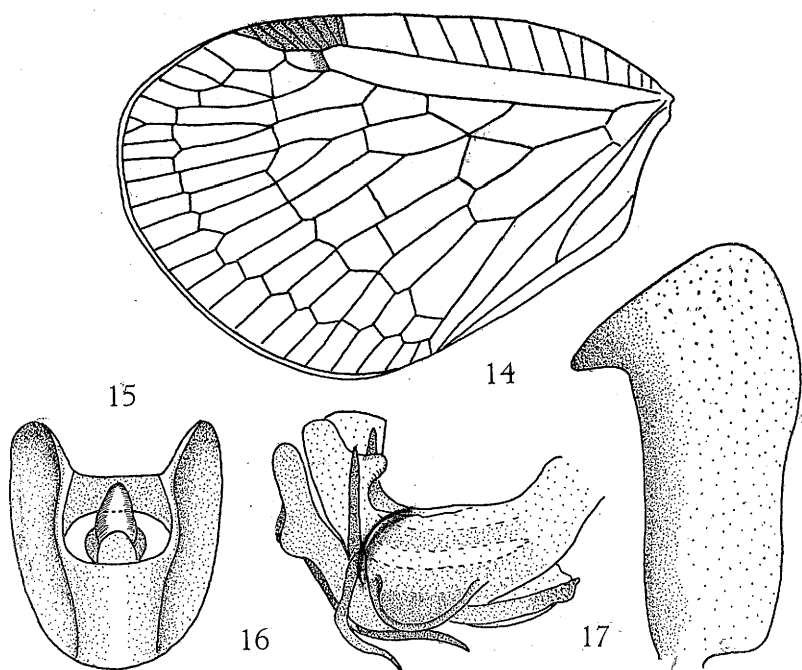
SPINOLA, M., 1839, Ann. Soc. Ent. Fr., VIII, p. 404, 9 *Ricania*.

Fig. 14. — *Tarundia servillei* SPINOLA : élytre gauche, env. $\times 6$;
 Fig. 15. — *idem* : tube anal, vue dorsale, env. $\times 50$;
 Fig. 16. — *idem* : édéage, vue latéro-ventrale droite, env. $\times 50$;
 Fig. 17. — *idem* : paramère gauche, vue latérale, env. $\times 50$.

4 exemplaires : Mauritius, Les Mares, 15-II-1943, J. VINSON.
 Elytre, voir fig. 14. Genitalia σ , voir fig. 15 à 17.

3. *Tarundia mameti* n. sp.
 (Fig. 18 à 21.)

= *T. cinctipennis* Hal
 (d'après Williams et Ferris 1980)

Front légèrement plus large (à sa largeur maxima), que long (40 : 35);
 bord antérieur (base), droit; bords latéraux, convexes vers le clypéus,
 carénés et relevés peu après le milieu; trois carènes, dont une médiane
 n'atteignant pas la suture clypéale et deux latérales, arquées, partant

du bord antérieur et effacées vers le milieu; ocre brunâtre. Clypéus non caréné. Vertex très court et large (longueur au milieu : $3/4$ largeur au bord antérieur, 35); bord antérieur très largement convexe, postérieur très profondément échancré en arc de cercle; bords latéraux subparallèles, à peine légèrement divergents vers l'arrière; ocre. Pronotum près de quatre fois aussi long que le vertex, à bord antérieur convexe et saillant vers l'avant, bord postérieur profondément échancré en angle; une carène médiane saillante et deux dépressions punctiformes sur le disque; ocre. Scutellum près de cinq fois aussi long que vertex et pronotum réunis, assez fortement convexe, avec trois carènes très nettes, dont une médiane atteignant la petite dépression située avant l'angle postérieur et deux latérales, arquées, écourtées vers le milieu, se rejoignant sur la médiane, peu après le bord postérieur du pronotum; brun clair, avec une bande transversale brun-noir entre le bord postérieur du pronotum et le sommet des carènes latérales, ainsi qu'une assez grande tache noire dans les angles scapulaires et deux petites sur l'angle postérieur. Elytres triangulaires, fortement élargis vers l'apex, plus longs que larges (60 : 45);

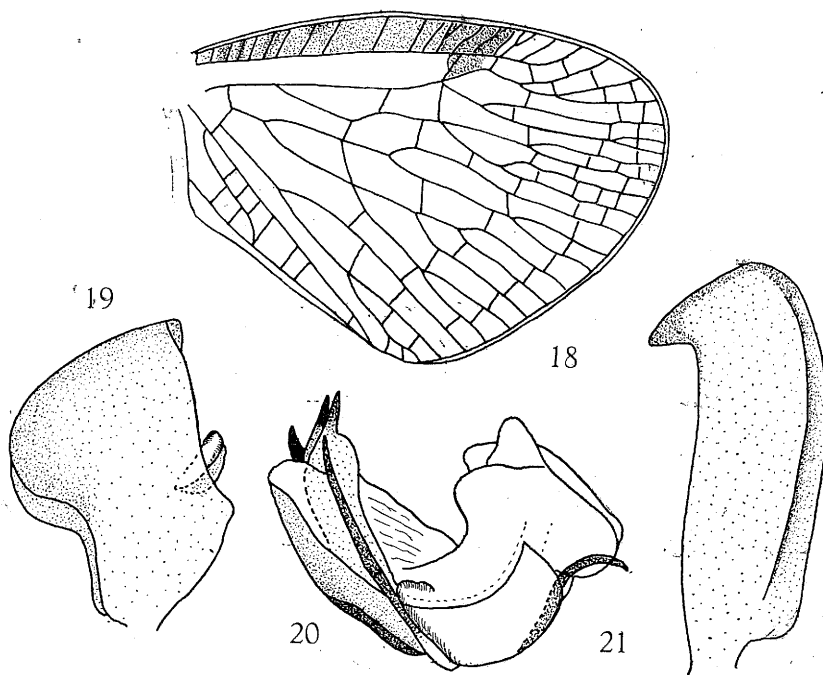


Fig. 18. — *Tarundia mameti* n. sp. : élytre droit, env. $\times 6$;
 Fig. 19. — *idem* : tube anal, vue latérale, env. $\times 50$;
 Fig. 20. — *idem* : édéage, vue latéro-ventrale droite, env. $\times 50$;
 Fig. 21. — *idem* : paramère gauche, vue latérale, env. $\times 50$.

entre Cl_1 et la suture clavale; hyalins, jaunâtres; stigma brun. Ailes hyalines, à nervures brunes; angle sutural enfumé. Pattes ocre; tibias postérieurs armés de deux épines.

Génitalia ♂, voir fig. 23 à 25. Envergure : env. 21 mm.

Type. — 1 ♂, Mauritius (sans date ni localité précise). (Institut royal des Sciences naturelles de Belgique).

5. *Tarundia* sp.

Une ♀, sans date ni localité précise. Comme chez *mameti*, il y a quelques taches brunes sur la base de la cellule costale. De même, il y a une zone enfumée sur l'angle apical des ailes, comme c'est le cas pour *T. clara*. Le vertex est semblable à celui de *mameti*, c'est-à-dire, beaucoup plus large que long (35 : 3), à bord antérieur largement convexe.

Famille FLATIDAE.

Genre *Ulundia* DISTANT.

DISTANT, W. L., 1910, Insect. Transvaal, p. 250.

MÉLICHAR, L., 1923, Genera Insect., fasc. 182, p. 73, *Chaetormenis*.

Ulundia madagascariensis SIGNORET.

SIGNORET, 1860, Ann. Soc. Ent. Fr. (3), VIII, p. 199 (*Elidiptera*).

11 ex. : île d'Algaléga, V-1955, R. MAMET.

Cette espèce est décrite de Madagascar.

Famille ISSIDAE.

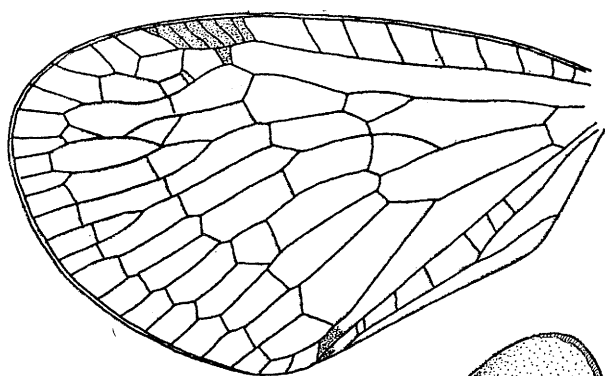
Genre *Tylana* STÅL.

STÅL, C., 1862, Rio Jan. Hemipt., II, p. 67.

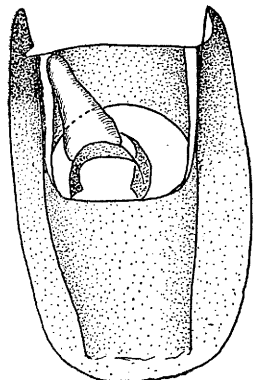
1. *Tylana carinata* FABRICIUS.

FABRICIUS, J. C., 1803, Syst. Rhyng., p. 100, *Issus carinatus*.

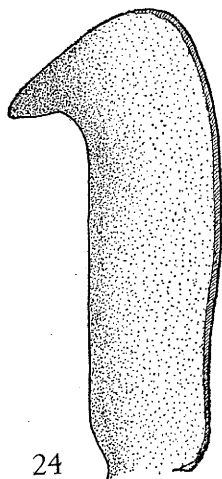
1 ex.; Le Poua, 15-XI-1943, R. MAMET.



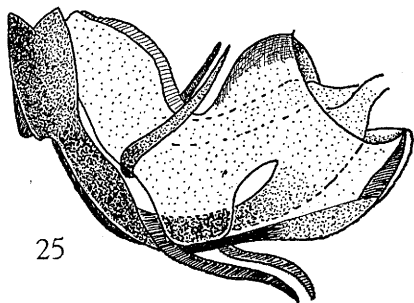
22



23



24



25

- Fig. 22. — *Tarundia clara* n. sp. : élytre gauche, env. $\times 6$;
 Fig. 23. — *idem* : tube anal, vue dorsale, env. $\times 50$;
 Fig. 24. — *idem* : paramère gauche, vue latérale, env. $\times 50$;
 Fig. 25. — *idem* : édéage, vue latéro-ventrale droite, env. $\times 50$.

2. *Tylana conspersa* SCHMIDT.

(Fig. 26, 27.)

SCHMIDT, E., 1910, Stett. Ent. Zeit., Heft I, p. 166.

Le type de cette espèce, qui devait normalement se trouver dans les collections de la Humboldt Universität zu Berlin, Zoologisches Museum (anciennement : Königlichen Zoologischen Museum in Berlin), doit être considéré comme perdu. En effet, suite à ma demande de prêt, le Dr. S. VON KÉLER, m'a aimablement fait savoir qu'il manquait dans la collection.

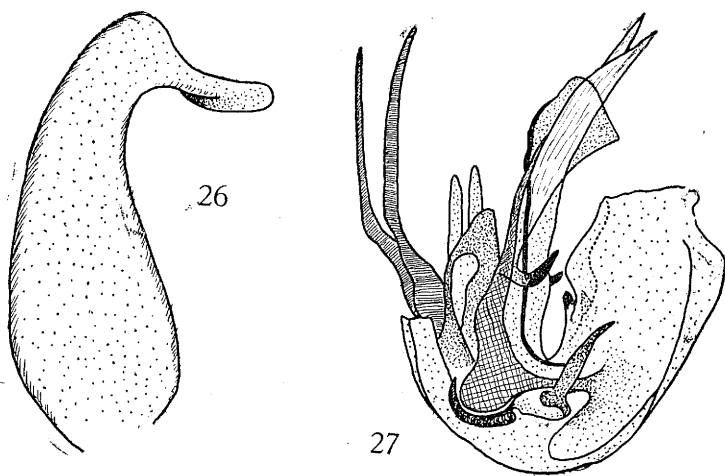
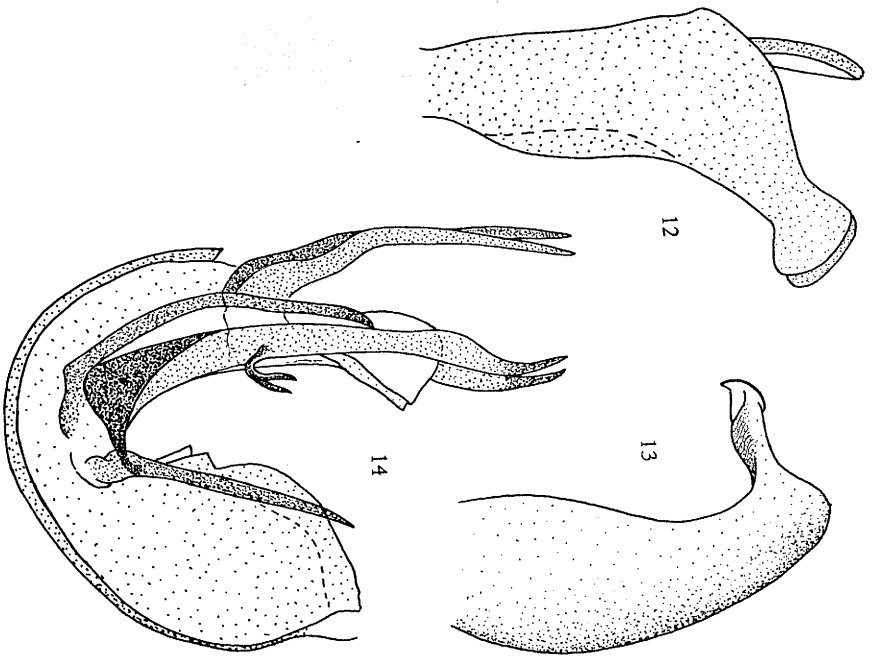


Fig. 26. — *Tylana conspersa* SCHMIDT : paramère droit, vue latérale, env. $\times 35$;
 Fig. 27. — *idem* : édéage, vue latéro-ventrale droite, env. $\times 35$.

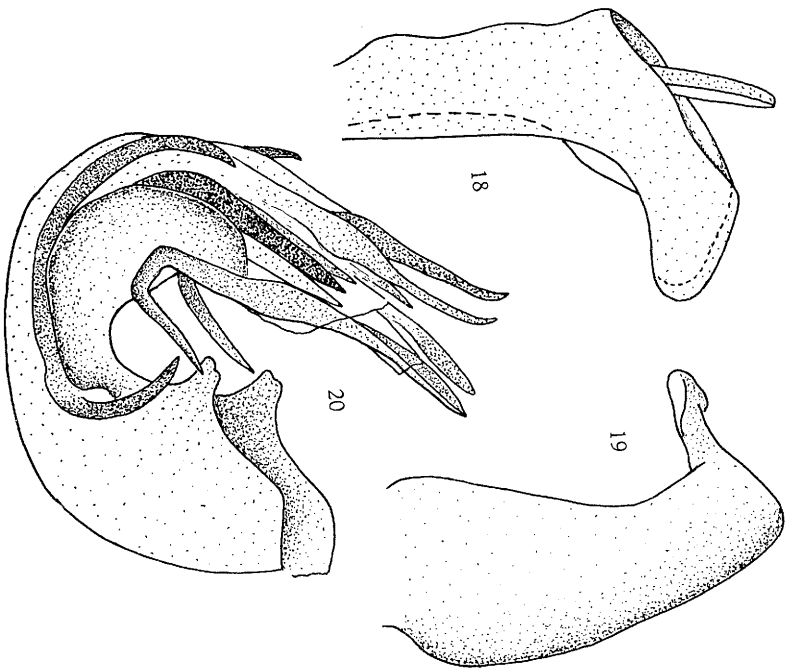
Les deux spécimens de l'île Maurice que j'ai examinés répondent, à très peu de chose près, à la description de *conspersa*. Notamment la forme des paramères chez le σ . A leur sujet, l'auteur écrit : « Gonapophysen nach hinten verschmälert, aufgebogen und im letzten Drittel zum Körper umgebogen und in einen Zahn auslaufend ». Ce qui semble bien correspondre à la figure 26. — Edéage, voir fig. 27.

Cependant, sur les exemplaires de l'île Maurice, certaines nervures transversales sont blanchâtres, notamment sur le clayus et vers le milieu du bord costal, où elles forment une assez grande tache claire.

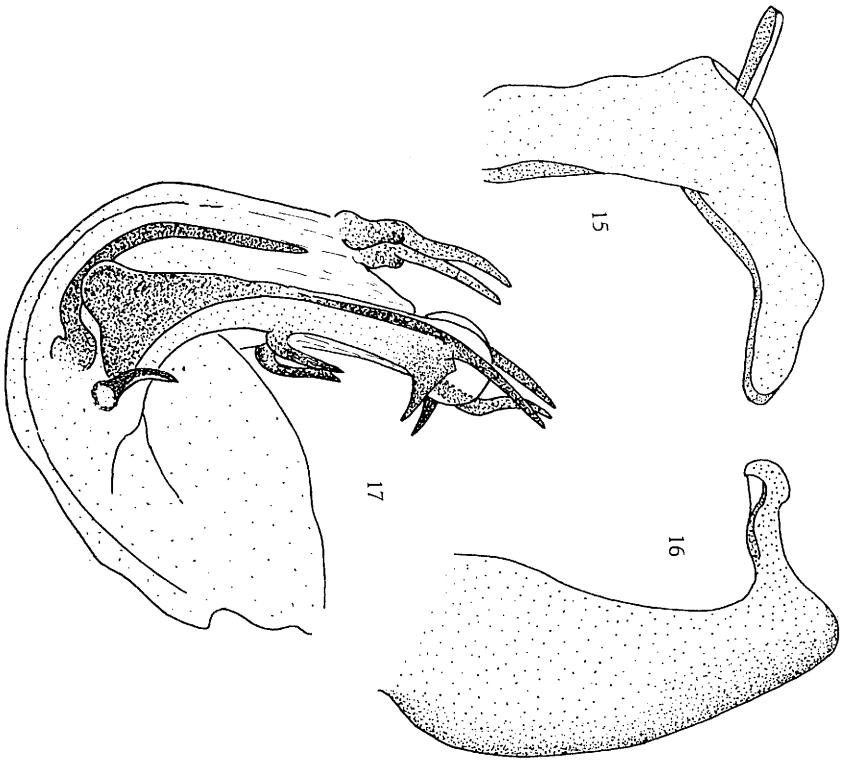
2 ex., σ et φ : Mauritius : Petrin, 6-I-1950, R. MAMET.



Typhana maculosa sp. n.



Tylacura dimidiata Agassiz.



Tylosurus Mauretius
(I Mauretius)